

А.И. КОЗАРЬ, *д-р физ.-мат. наук*

## РАССЕЯНИЕ ЭЛЕКТРОМАГНИТНЫХ ВОЛН ДИСКРЕТНЫМ ОКТАЭДРОМ ИЗ РЕЗОНАНСНЫХ СФЕР

### Введение

Здесь рассматривается случай, эквивалентный рентгеновской оптике кристаллов, когда  $a/\lambda' \ll 1$  и может быть  $a/\lambda_g \sim 1$ ;  $d, h, l/\lambda' \sim 1$ , где  $a$  – радиус сфер;  $\lambda', \lambda_g$  – длины рассеиваемой волны вне и внутри сфер;  $d, h, l$  – постоянные решетки. Решение задачи получено на основе интегральных уравнений электродинамики Фредгольма 2-го рода, с нелокальными граничными условиями [1 – 3].

Найденные в работе выражения для метакристалла в форме октаэдра можно использовать для изучения рассеянных кристаллом полей в зонах Френеля и Фраунгофера, а также для изучения его внутреннего поля.

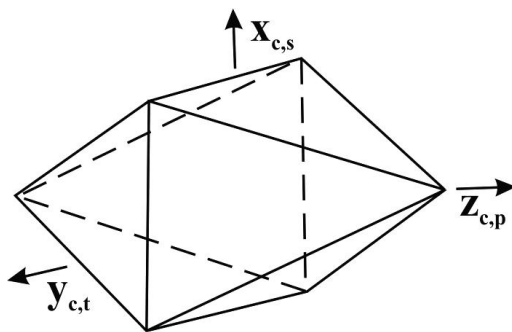


Рис. 1. Геометрия задачи

### Основная часть

Рассмотрим сложную пространственную решетку метакристалла, состоящую из  $C$  ромбических подрешеток  $c (c \in C)$ . Эти подрешетки порождаются координатным представлением, которое в прямоугольной декартовой системе координат имеет вид (рис. 1):

$$\begin{aligned} x_{c,s} &= [s - 0,5\{(-1)^s - 1\}]d - (-1)^{s-1}x_{c,s=0} \\ s &= 0, \pm 1, \pm 2, \dots, \pm(|p_{\max}| - |p|), \\ y_{c,t} &= [t - 0,5\{(-1)^t - 1\}]h - (-1)^{t-1}y_{c,t=0} \\ t &= 0, \pm 1, \pm 2, \dots, \pm(|p_{\max}| - |p|), \\ z_{c,p} &= [p - 0,5\{(-1)^p - 1\}]l - (-1)^{p-1}z_{c,p=0} \\ p &= 0, \pm 1, \pm 2, \dots, \pm|p_{\max}|, \end{aligned} \quad (1)$$

где величины  $d, h, l$  определяются условиями  $x=0, x=d; y=0, y=h; z=0, z=l$ , а  $x_{c,s=0}, y_{c,t=0}, z_{c,p=0}$  – координаты узла, порождающего подрешетку  $c$  и находящегося внутри области элементарной ячейки решетки

$$\begin{aligned} 0 &\leq x_{c,s=0} \leq d, \\ 0 &\leq y_{c,t=0} \leq h, \\ 0 &\leq z_{c,p=0} \leq l. \end{aligned} \quad (2)$$

Координаты  $x_{c,s}, y_{c,t}, z_{c,p}$  – определяют положение узлов подрешетки  $c$  вне пределов области (2) и являются функциями координат  $x_{c,s=0}, y_{c,t=0}, z_{c,p=0}$ . Каждому узлу подрешетки  $c$  (1) сопоставляется упорядоченная тройка чисел –  $c(p, s, t)$ , выделенный узел решетки будем обозначать –  $c'(p', s', t')$ . Задавая максимальные значения для чисел  $(p, s, t)$  в (1), можно рассматривать ограниченные дискретные решетки.

Ячейку решетки формируют из узлов внутри области (2), которую повторит за пределами области (2) координатное представление (1) в виде пространственной решетки.

Расстояние между узлами определим (1)

$$r_{c'(p',s',t),c(p,s,t)} = \sqrt{(x_{c',s'} - x_{c,s})^2 + (y_{c',t'} - y_{c,t})^2 + (z_{c',p'} - z_{c,p})^2}. \quad (3)$$

В узлы подрешеток (1) помещаются центры сфер с комплексными диэлектрической и магнитной проницаемостями  $\varepsilon_{c(p,s,t)}, \mu_{c(p,s,t)}$ , радиусами  $a_{c(p,s,t)}$ , объемами  $V_{c(p,s,t)}$ , которые дальше будем обозначать –  $\varepsilon_c, \mu_c, a_c, V_c$ . Сферы решетки находятся в среде с комплексными диэлектрической и магнитной проницаемостями  $\varepsilon_0, \mu_0$ .

Для решения подобных задач удобно использовать интегральные уравнения электродинамики с нелокальными граничными условиями [1, 2], и решать задачу будем в два этапа. На первом этапе найдем внутреннее поле рассеивающих сфер, а на втором – поле, рассеянное пространственной решеткой сфер.

Рассеянное решеткой поле по известному внутреннему полю рассеивателей определим через электрический  $\vec{\Pi}^e$  и магнитный  $\vec{\Pi}^m$  потенциалы Герца:

$$\begin{aligned} \vec{E}_{расc} &= (\nabla\nabla + k^2\varepsilon_0\mu_0)\vec{\Pi}^e - ik\mu_0[\nabla, \vec{\Pi}^m], \\ \vec{H}_{расc} &= (\nabla\nabla + k^2\varepsilon_0\mu_0)\vec{\Pi}^m + ik\varepsilon_0[\nabla, \vec{\Pi}^e]. \end{aligned} \quad (4)$$

Потенциалы Герца рассеянного поля отдельными сферами представим в виде

$$\begin{aligned} \vec{\Pi}_{c(p,s,t)}^e(\vec{r}, t) &= \frac{1}{4\pi} \int_{V_c} \left( \frac{\varepsilon_{c\varphi}}{\varepsilon_0} - 1 \right) \vec{E}_{c(p,s,t)}^0(\vec{r}', t) f_c(|\vec{r} - \vec{r}'|) dV, \\ \vec{\Pi}_{c(p,s,t)}^m(\vec{r}, t) &= \frac{1}{4\pi} \int_{V_c} \left( \frac{\mu_{c\varphi}}{\mu_0} - 1 \right) \vec{H}_{c(p,s,t)}^0(\vec{r}', t) f_c(|\vec{r} - \vec{r}'|) dV, \end{aligned} \quad (5)$$

где  $\vec{E}_{c(p,s,t)}^0(\vec{r}', t), \vec{H}_{c(p,s,t)}^0(\vec{r}', t)$  – внутренние поля рассеивателя,  $V_c$  – объем рассеивателя; функция  $f(|\vec{r} - \vec{r}'|)$  является решением уравнения

$$\Delta f(|\vec{r} - \vec{r}'|) + k^2\varepsilon_0\mu_0 f(|\vec{r} - \vec{r}'|) = -4\pi\delta(|\vec{r} - \vec{r}'|),$$

удовлетворяющего условию излучения на бесконечности и имеет вид

$$f(|\vec{r} - \vec{r}'|) = \frac{e^{-k_1\sqrt{\varepsilon_0\mu_0}|\vec{r} - \vec{r}'|}}{|\vec{r} - \vec{r}'|}. \quad (6)$$

Можно показать, что для точек вне сферы ( $r > r'$ ) интеграл по объему сферы от функции Грина (6) имеет вид

$$W_{c(p,s,t)}(\vec{r}) = \int_{V_c} \frac{e^{-k_1\sqrt{\varepsilon_0\mu_0}|\vec{r} - \vec{r}'|}}{|\vec{r} - \vec{r}'|} dV = \frac{4\pi}{k_1^3} (\sin k_1 a_c - k_1 a_c \cos k_1 a_c) \frac{e^{-ik_1 r}}{r}, \quad (7)$$

где  $k_1 = k\sqrt{\varepsilon_0\mu_0}, k = 2\pi/\lambda_0, r$  – определяет расстояние от центра до точек вне сферы.

Поля представим в виде

$$\vec{E}(\vec{r}, t) = \vec{E}(\vec{r}) e^{i\omega t}, \vec{H}(\vec{r}, t) = \vec{H}(\vec{r}) e^{i\omega t}.$$

Будем считать, что вне сфер  $a_c/\lambda \ll 1$ , но внутри сферы возможен резонансный случай  $a_c/\lambda_g \sim 1$ , где  $\lambda = \lambda_0/\sqrt{\varepsilon_0\mu_0}$  – длина волны вне сферы, а  $\lambda_g = \lambda_0/\sqrt{\varepsilon_c\mu_c}$  – длина волны в сфере.

Внутреннее поле  $c'(p', s', t')$  сферы найдем из системы квазистационарных неоднородных уравнений, которые построим, опираясь на интегральные уравнения [2]. Входящее в эту систему неоднородное уравнение для внутреннего электрического поля произвольной сферы  $c'(p', s', t')$  имеет вид

$$\begin{aligned} \vec{E}_{0c'(p', s', t')}(\vec{r}', t) = & \left\{ \frac{(\varepsilon_{c\varepsilon\phi} + 2\varepsilon_0) + \theta_{1c}^2 \varepsilon_{c\varepsilon\phi} + \theta_{1c}^2 (\varepsilon_{c\varepsilon\phi} + 2\varepsilon_0)}{3\varepsilon_0} \right\} \times \\ & \times \vec{E}_{c'(p', s', t')}^0(\vec{r}', t) - \sum_p \sum_s \sum_t \left\{ (\nabla \nabla + k^2 \varepsilon_0 \mu_0) \times \frac{1}{4\pi} \left( \frac{\varepsilon_{c'\varepsilon\phi}}{\varepsilon_0} - 1 \right) W_{c'(p, s, t)}^\varepsilon(\vec{r}) \vec{E}_{c'(p, s, t)}^0(\vec{r}', t) - \right. \\ & \left. - ik\mu_0 \left[ \nabla, \frac{1}{4\pi} \left( \frac{\mu_{c'\varepsilon\phi}}{\mu_0} - 1 \right) W_{c'(p, s, t)}^M(\vec{r}) \vec{H}_{c'(p, s, t)}^0(\vec{r}', t) \right] \right\} - \\ & - \sum_{c=1}^C \left( \sum_p \sum_s \sum_t \left\{ (\nabla \nabla + k^2 \varepsilon_0 \mu_0) \frac{1}{4\pi} \left( \frac{\varepsilon_{c\varepsilon\phi}}{\varepsilon_0} - 1 \right) \times W_{c(p, s, t)}^\varepsilon(\vec{r}) \vec{E}_{c(p, s, t)}^0(\vec{r}', t) - ik\mu_0 \times \right. \right. \\ & \left. \left. \left( c \neq c' \right) \right. \right. \\ & \left. \left. \times \left[ \nabla, \frac{1}{4\pi} \left( \frac{\mu_{c\varepsilon\phi}}{\mu_0} - 1 \right) W_{c(p, s, t)}^M(\vec{r}) \vec{H}_{c(p, s, t)}^0(\vec{r}', t) \right] \right\} \right), \end{aligned} \quad (8)$$

где  $\vec{E}_{0c'(p', s', t')}(\vec{r}', t)$  и  $\vec{E}_{c'(p', s', t')}^0(\vec{r}', t)$ ,  $\vec{H}_{c'(p', s', t')}^0(\vec{r}', t)$  – поле падающей волны и внутреннее поле  $c'(p', s', t')$  сферы, а  $\vec{E}_{c(p, s, t)}^0(\vec{r}', t)$ ,  $\vec{H}_{c(p, s, t)}^0(\vec{r}', t)$  – внутренние поля остальных сфер.

Величины  $W_{c(p, s, t)}^\varepsilon(\vec{r}')$ ,  $W_{c(p, s, t)}^M(\vec{r}')$ ,  $\varepsilon_{c\varepsilon\phi}$ ,  $\mu_{c\varepsilon\phi}$  имеют вид (3, 7, 8)

$$\begin{aligned} W_{c(p, s, t)}^M &= W_{c(p, s, t)}^\varepsilon(\vec{r}') = \frac{4\pi}{k_1^3} (\sin k_1 a_c - k_1 a_c \cos k_1 a_c) \times \frac{e^{-ik_1 r_{c'(p', s', t'), c(p, s, t)}}}{r_{c'(p', s', t'), c(p, s, t)}}, \\ \varepsilon_{c\varepsilon\phi} &= \varepsilon_c F(k a_c \sqrt{\varepsilon_c \mu_c}), \\ \mu_{c\varepsilon\phi} &= \mu_c F(k a_c \sqrt{\varepsilon_c \mu_c}), \end{aligned} \quad (9)$$

где

$$F(k a_c \sqrt{\varepsilon_c \mu_c}) = \frac{2(\sin k a_c \sqrt{\varepsilon_c \mu_c} - k a_c \sqrt{\varepsilon_c \mu_c} \cos k a_c \sqrt{\varepsilon_c \mu_c})}{(k^2 a_c^2 \varepsilon_c \mu_c - 1) \sin k a_c \sqrt{\varepsilon_c \mu_c} + k a_c \sqrt{\varepsilon_c \mu_c} \cos k a_c \sqrt{\varepsilon_c \mu_c}}.$$

Уравнение для внутреннего магнитного поля сферы  $c'(p', s', t')$  имеет вид аналогичный уравнению (8), если в нем произвести замену электрических величин на магнитные.

Уравнения (8) представляют алгебраическую систему  $2N = 2 \sum_{c=1}^C N_c$  векторных неоднородных уравнений, где  $N$  – общее число сфер решетки, а  $N_c$  – число сфер подрешетки  $c$ . Решение этой системы уравнений для сферы  $c'(p', s', t')$  имеет вид:

$$\begin{aligned}\vec{E}_{c'(p',s',t')}^0(\vec{r}',t) &= \frac{1}{\Delta^{\text{эм}}} \sum_{c=1}^C \left( \sum_u \left[ \hat{g}_u^{\text{эм}'} \vec{E}_{0c(p,s,t)}(\vec{r}',t) + \hat{\beta}_u^{\text{эм}'} \vec{H}_{0c(p,s,t)}(\vec{r}',t) \right] \right), \\ \vec{H}_{c'(p',s',t')}^0(\vec{r}',t) &= \frac{1}{\Delta^{\text{эм}}} \sum_{c=1}^C \left( \sum_u \left[ \hat{\beta}_u^{\text{эм}'} \vec{H}_{0c(p,s,t)}(\vec{r}',t) + \hat{g}_u^{\text{эм}'} \vec{E}_{0c(p,s,t)}(\vec{r}',t) \right] \right),\end{aligned}\quad (10)$$

$\Delta^{\text{эм}}$  – детерминант основной матрицы системы уравнений (8).

Потенциалы Герца (4), рассеянного сферами решетки поля можно представить, учитывая (9) и (10), в виде суперпозиции потенциалов Герца отдельных сфер решетки (5)

$$\begin{aligned}\vec{\Pi}^p(\vec{r},t) &= \sum_{c=1}^C \left[ \sum_p \sum_s \sum_t \frac{1}{k_1^3} (\sin k_1 a_c - k_1 a_c \cos k_1 a_c) \times \left( \frac{\varepsilon_{c\phi}}{\varepsilon_0} - 1 \right) \vec{E}_{c(p,s,t)}^0(\vec{r}',t) \frac{e^{-ik_1 r_{c(p,s,t)}}}{r_{c(p,s,t)}} \right], \\ \vec{\Pi}^m(\vec{r},t) &= \sum_{c=1}^C \left[ \sum_p \sum_s \sum_t \frac{1}{k_1^3} (\sin k_1 a_c - k_1 a_c \cos k_1 a_c) \times \left( \frac{\mu_{c\phi}}{\mu_0} - 1 \right) \vec{H}_{c(p,s,t)}^0(\vec{r}',t) \frac{e^{-ik_1 r_{c(p,s,t)}}}{r_{c(p,s,t)}} \right].\end{aligned}\quad (11)$$

$$\text{Здесь } r_{c(p,s,t)} = \sqrt{(x-x_{c,s})^2 + (y-y_{c,t})^2 + (z-z_{c,p})^2}, \quad (12)$$

где координаты  $(x, y, z)$  – точка наблюдения рассеянного поля вне сфер решетки, координаты  $(x_{c,s}, y_{c,t}, z_{c,p})$  – точка нахождения центра рассеивающей сферы (1). Тогда, учитывая (10), (11), из (4) найдем искомое рассеянное сферами решетки поле

$$\begin{aligned}\vec{E}_{\text{расс}} &= \sum_{c=1}^C \left[ \sum_p \sum_s \sum_t \frac{1}{k_1^3} (\sin k_1 a_c - k_1 a_c \cos k_1 a_c) \times \right. \\ &\times \left. \left\{ \left( \frac{\varepsilon_{c\phi}}{\varepsilon_0} - 1 \right) \hat{L}_c \vec{E}_{c(p,s,t)}^0(\vec{r}') - ik\mu_0 \left( \frac{\mu_{c\phi}}{\mu_0} - 1 \right) \times \hat{P}_c \vec{H}_{c(p,s,t)}^0(\vec{r}') \right\} e^{i(\omega t - k_1 r_{c(p,s,t)})} \right], \\ \vec{H}_{\text{расс}} &= \sum_{c=1}^C \left[ \sum_p \sum_s \sum_t \frac{1}{k_1^3} (\sin k_1 a_c - k_1 a_c \cos k_1 a_c) \times \right. \\ &\times \left. \left\{ \left( \frac{\mu_{c\phi}}{\mu_0} - 1 \right) \hat{L}_c \vec{H}_{c(p,s,t)}^0(\vec{r}') + ik\varepsilon_0 \left( \frac{\varepsilon_{c\phi}}{\varepsilon_0} - 1 \right) \hat{P}_c \vec{E}_{c(p,s,t)}^0(\vec{r}') \right\} e^{i(\omega t - k_1 r_{c(p,s,t)})} \right],\end{aligned}\quad (13)$$

где  $\hat{L}_c$  и  $\hat{P}_c$  – функциональные матрицы вида

$$\hat{L}_c = \begin{bmatrix} \Psi_{xxc} & \Psi_{xyc} & \Psi_{xzc} \\ \Psi_{yxc} & \Psi_{yyc} & \Psi_{yzc} \\ \Psi_{zxc} & \Psi_{zyc} & \Psi_{zcc} \end{bmatrix}; \quad \hat{P}_c = \begin{bmatrix} 0 & \Psi_{zc} & \Psi_{yc}^0 \\ \Psi_{zc}^0 & 0 & \Psi_{xc} \\ \Psi_{yc} & \Psi_{xc}^0 & 0 \end{bmatrix}. \quad (14)$$

Величины, входящие в функциональные матрицы (14), имеют вид (1),(12)

$$\begin{aligned}\Psi_{xxc} &= \frac{1}{r_{c(p,s,t)}} k^2 \varepsilon_0 \mu_0 + \frac{3(x-x_{c,s})^2 - r_{c(p,s,t)}^2}{r_{c(p,s,t)}^5} - \frac{k_1^2 (x-x_{c,s})^2}{r_{c(p,s,t)}^3} + ik_1 \frac{3(x-x_{c,s})^2 - r_{c(p,s,t)}^2}{r_{c(p,s,t)}^4}, \\ \Psi_{yyc} &= \frac{1}{r_{c(p,s,t)}} k^2 \varepsilon_0 \mu_0 + \frac{3(y-y_{c,t})^2 - r_{c(p,s,t)}^2}{r_{c(p,s,t)}^5} - \frac{k_1^2 (y-y_{c,t})^2}{r_{c(p,s,t)}^3} + ik_1 \frac{3(y-y_{c,t})^2 - r_{c(p,s,t)}^2}{r_{c(p,s,t)}^4},\end{aligned}$$

$$\Psi_{zc} = \frac{1}{r_{c(p,s,t)}} k^2 \varepsilon_0 \mu_0 + \frac{3(z-z_{c,p})^2 - r_{c(p,s,t)}^2}{r_{c(p,s,t)}^5} - \frac{k_1^2 (z-z_{c,p})^2}{r_{c(p,s,t)}^3} + ik_1 \frac{3(z-z_{c,p})^2 - r_{c(p,s,t)}^2}{r_{c(p,s,t)}^4},$$

$$\Psi_{xyc} = \Psi_{yxc} = \frac{3(x-x_{c,s})(y-y_{c,t})}{r_{c(p,s,t)}^5} - k_1^2 \frac{(x-x_{c,s})(y-y_{c,t})}{r_{c(p,s,t)}^3} + ik_1 \frac{3(x-x_{c,s})(y-y_{c,t})}{r_{c(p,s,t)}^4},$$

$$\Psi_{xzc} = \Psi_{zxc} = \frac{3(x-x_{c,s})(z-z_{c,p})}{r_{c(p,s,t)}^5} - k_1^2 \frac{(x-x_{c,s})(z-z_{c,p})}{r_{c(p,s,t)}^3} + ik_1 \frac{3(x-x_{c,s})(z-z_{c,p})}{r_{c(p,s,t)}^4},$$

$$\Psi_{yxc} = \Psi_{zyc} = \frac{3(y-y_{c,t})(z-z_{c,p})}{r_{c(p,s,t)}^5} - k_1^2 \frac{(y-y_{c,t})(z-z_{c,p})}{r_{c(p,s,t)}^3} + ik_1 \frac{3(y-y_{c,t})(z-z_{c,p})}{r_{c(p,s,t)}^4},$$

$$\Psi_{xc} = \frac{(x-x_{c,s})}{r_{c(p,s,t)}^3} + ik_1 \frac{(x-x_{c,s})}{r_{c(p,s,t)}^2}, \quad \Psi_{xc}^0 = -\Psi_{xc},$$

$$\Psi_{yc} = \frac{(y-y_{c,t})}{r_{c(p,s,t)}^3} + ik_1 \frac{(y-y_{c,t})}{r_{c(p,s,t)}^2}, \quad \Psi_{yc}^0 = -\Psi_{yc},$$

$$\Psi_{zc} = \frac{(z-z_{c,p})}{r_{c(p,s,t)}^3} + ik_1 \frac{(z-z_{c,p})}{r_{c(p,s,t)}^2}, \quad \Psi_{zc}^0 = -\Psi_{zc},$$

Поле в произвольной точке пространства, лежащей вне сфер, представим в виде (13):

$$\vec{E}(\vec{r}, t) = \vec{E}_0(\vec{r}, t) + \vec{E}_{\text{расс}}(\vec{r}, t),$$

где  $\vec{E}_0(\vec{r}, t)$  – невозмущенное поле падающей волны.

### Заключение

Полученные соотношения могут найти применение при изучении рассеяния волн различного рода выпуклыми многогранниками, при создании на их основе новых видов ограниченных метакристаллов, в том числе и нанокристаллов с резонансными свойствами, и при изучении их поведения в различных внешних средах [4], а также при разработке методов моделирования электромагнитных явлений, которые могут происходить в реальных кристаллах в резонансных областях в оптическом и рентгеновском диапазонах длин волн [5].

### Список литературы:

1. Khyzhnyak NA. The Green function of Maxwell's equations for inhomogeneous media // J. Technical Physics. 1958. Vol. 28, No. 7. P. 1952-1610 (in russian).
2. Kozar AI. Resonant metacrystals of small magnetodielectric spheres: monograph. Kharkiv : KNURE, 2014. 352 p. (in russian).
3. Kozar AI. Electromagnetic Wave Scattering with Special Spatial Lattices of Magnetodielectric Spheres // J. Telecommunication and Radio Engineering. New York, N.Y. (USA) : Begell House Inc. 2004. Vol. 61, No. 9. P. 734-749.
4. Kozar AI. Resonant Degenerate Crystal Made of Spheres Located Magnetodielectric Medium, International Journal of Electromagnetics and Applications, Vol. 3, No. 2, 2013, pp. 15-19. doi: 10.5923/j.idea.20130302.02.
5. Kozar AI. Electromagnetic lattice "invisibility" of the resonance cubic crystal made jfmagnetodielectric spheres // J. Telecommunication and Radio Engineering. New York, N.Y. (USA) : Begell House Inc. 2018. Vol. 77, issue 2. P. 155-159.

Поступила в редколлегию 02.11.2020

Сведения об авторах:

**Козарь Анатолий Иванович** – д-р физ.-мат. наук, профессор, профессор кафедры физики, Харьковский национальный университет радиоэлектроники, Украина; e-mail: [d\\_ph@nure.ua](mailto:d_ph@nure.ua), ORCID: <https://orcid.org/0000-0001-9968-8674>